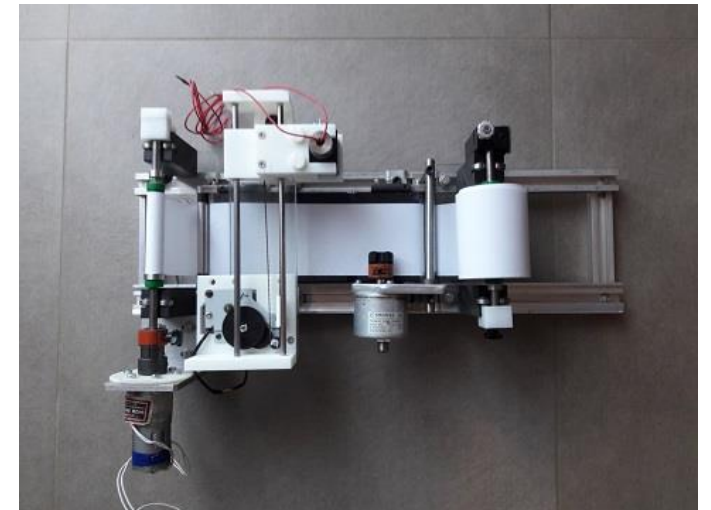


L'orgue de barbarie électronique

1. Découverte du projet
2. Modélisation du système
3. Comportement du système :
comparaison théorique et expérimentale
4. Mise en place de l'asservissement
5. Conclusion

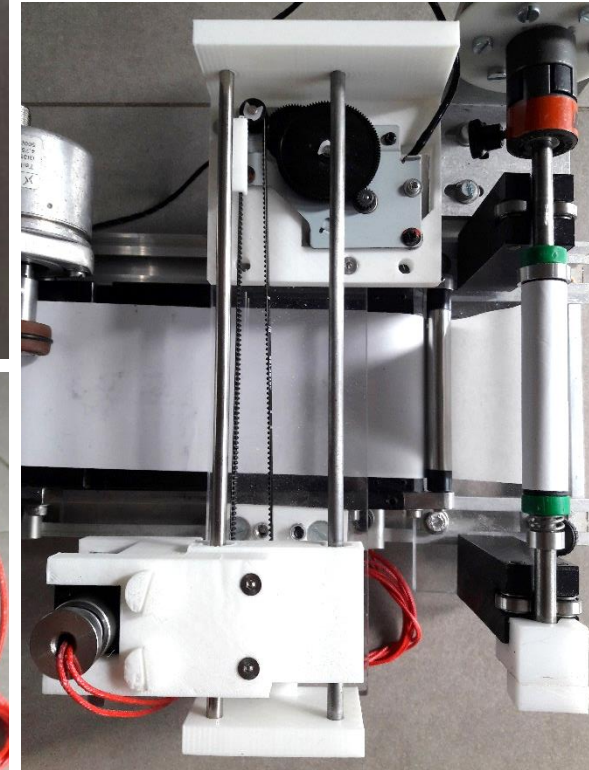
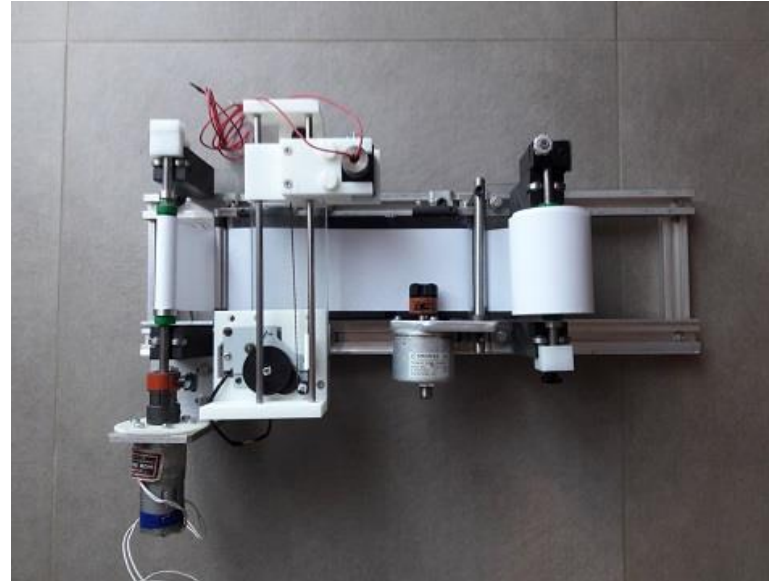


- Objectifs :

1. Réaliser une maquette
2. Modéliser la maquette
3. Asservir le déroulement du papier pour la lecture

- Problématique :

De quelle manière pouvons-nous modéliser notre système en vue de réaliser un asservissement du déroulement du papier?



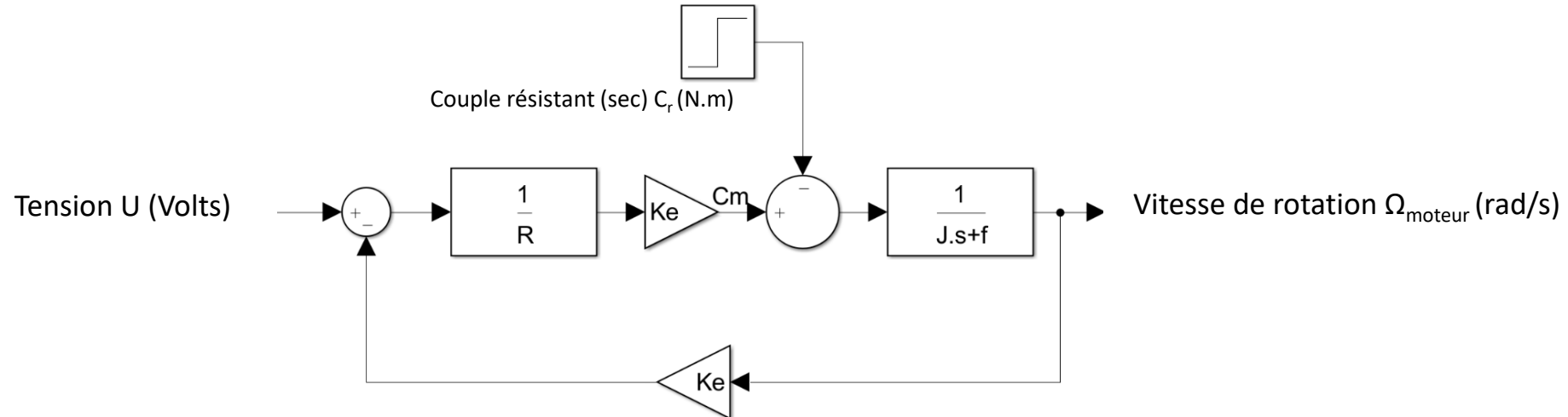
- Equations du moteur à courant continu:

$$U(p) = R \cdot I(p) + L \cdot p \cdot I(p) + K_e \cdot \Omega_m(p)$$

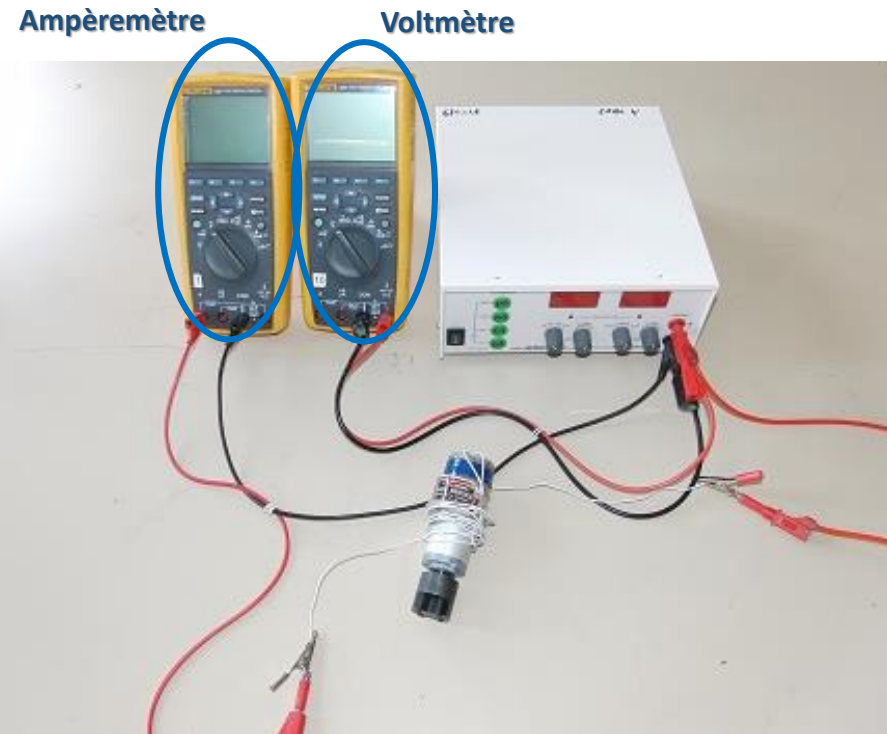
$$J \cdot p \cdot \Omega_m(p) = C_m(p) - C_r(p)$$

$$C_m(p) = K_c \cdot I(p)$$

- Schéma bloc du moteur à courant continu:

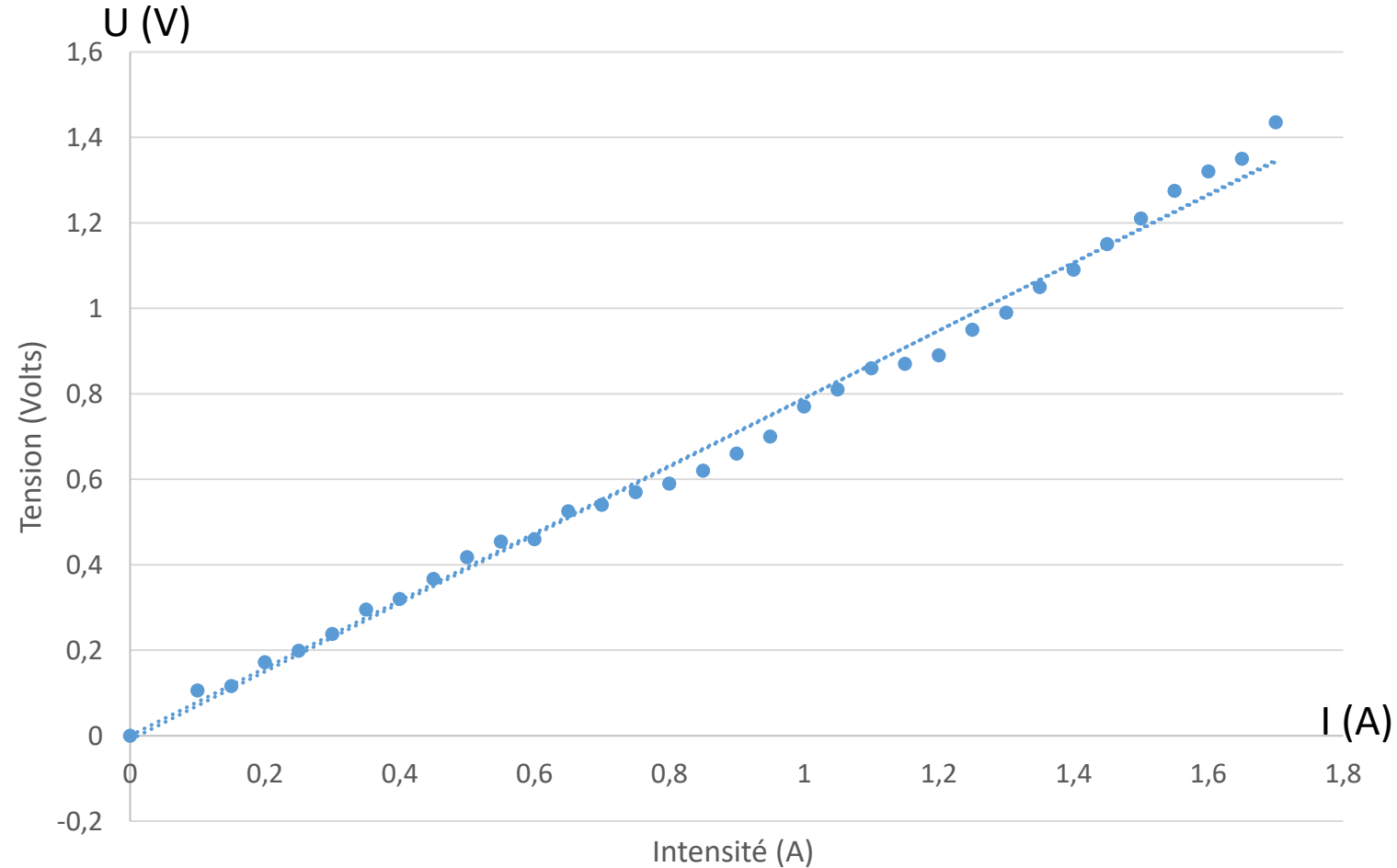


- Résistance du moteur :
Essai à rotor bloqué $\Omega=0$



$$U = E + R \cdot i$$

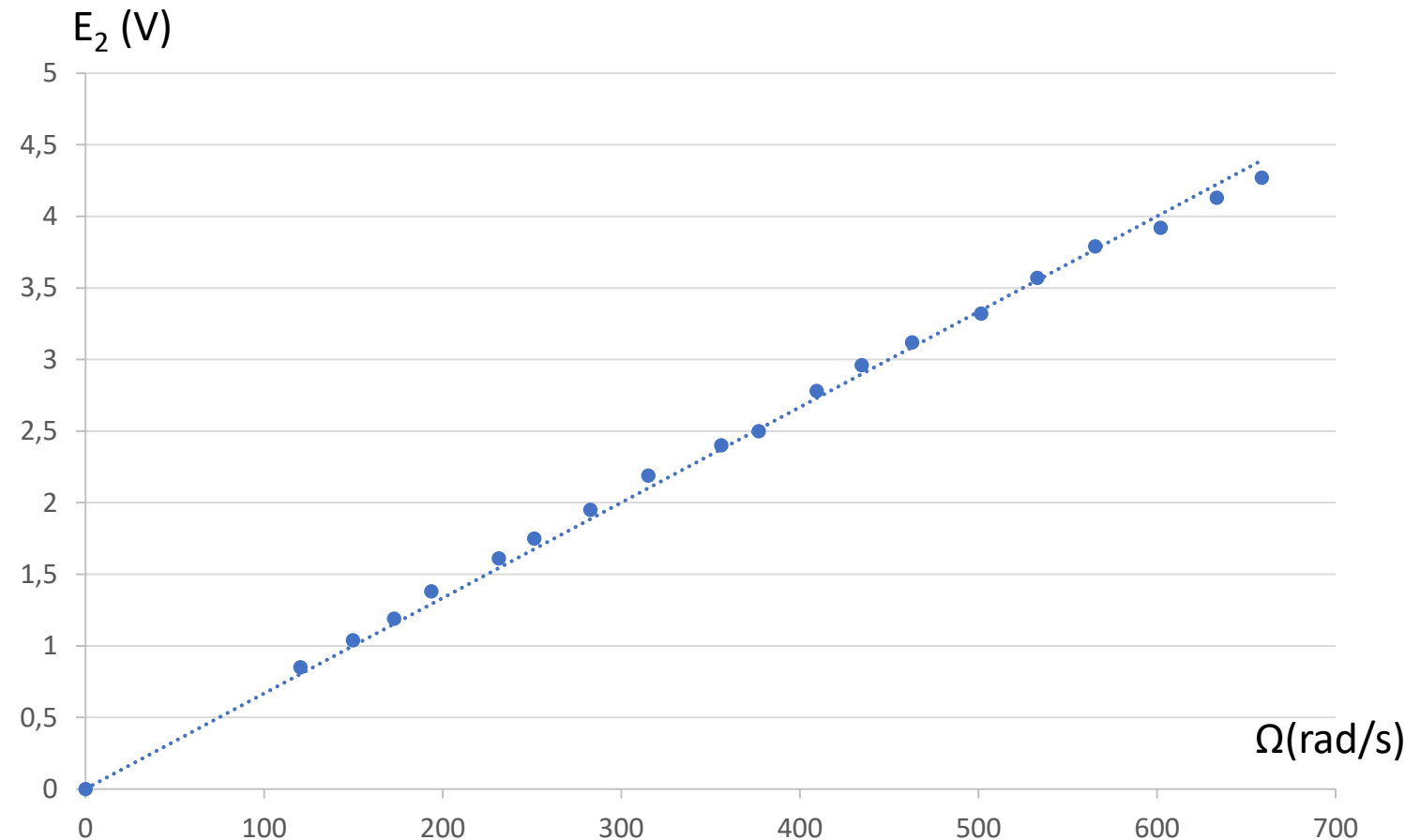
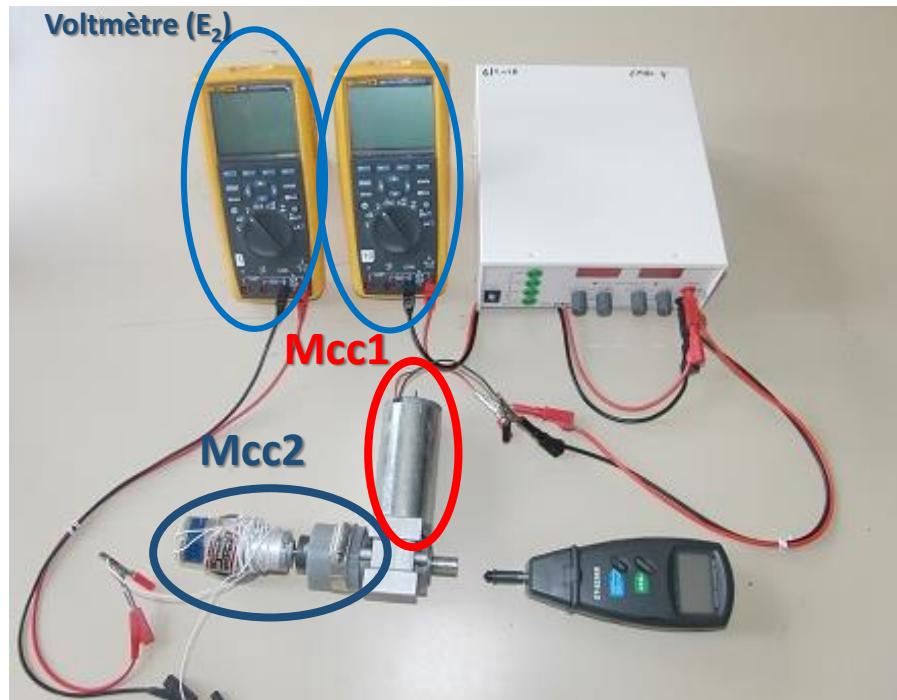
$$U = R \cdot i$$



Valeur ohmmètre : $R_{ohm} = 7.3 \cdot 10^{-1} \Omega \pm 0.5 \cdot 10^{-1} \Omega$

Valeur mesurée : $R_{mes} = 7.6 \cdot 10^{-1} \Omega$

- Constante K_e/K_c : Essai à vide



$$E_{mcc2} = K_{e_2} \cdot \Omega$$

$$U_{mcc2} = E_{mcc2} \quad (\text{Pas de courant } R \cdot i = 0)$$

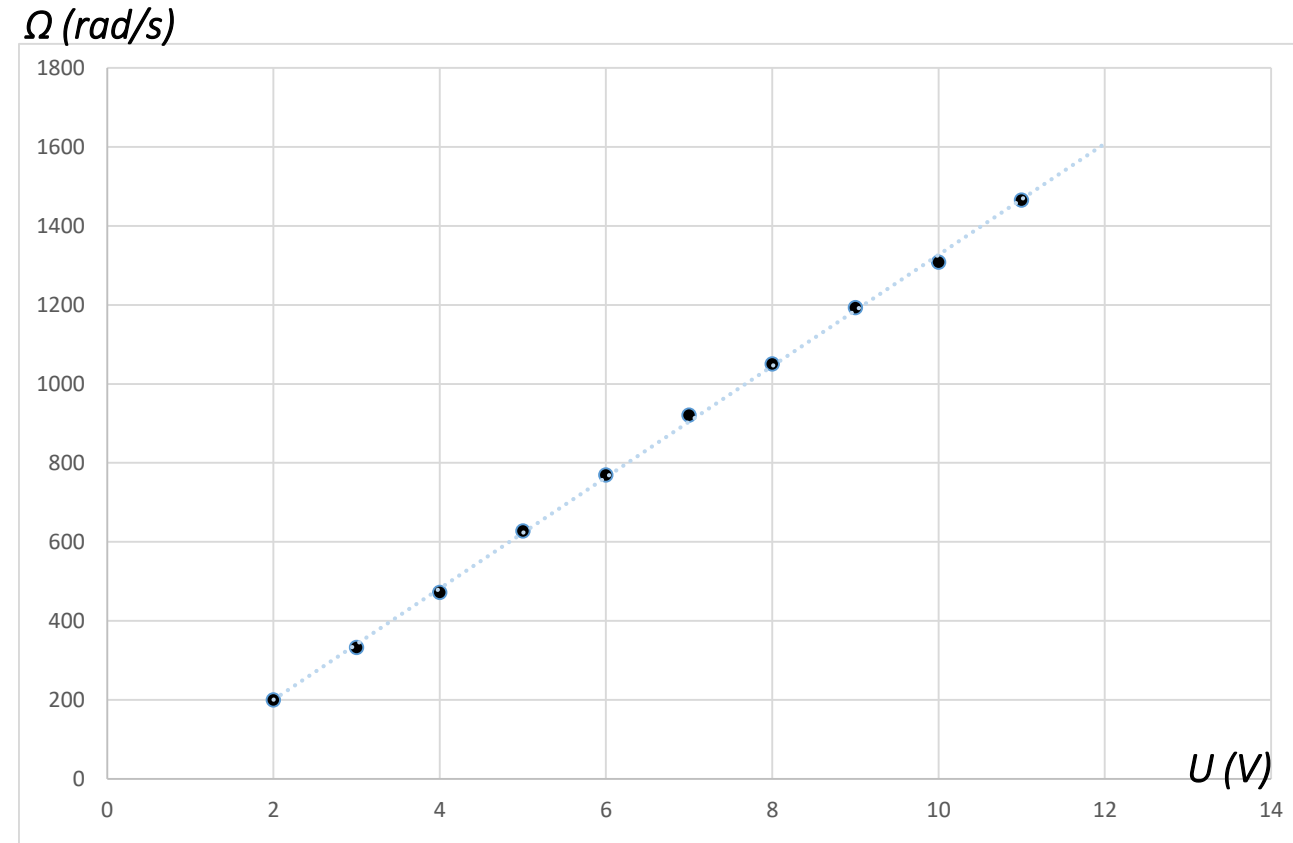
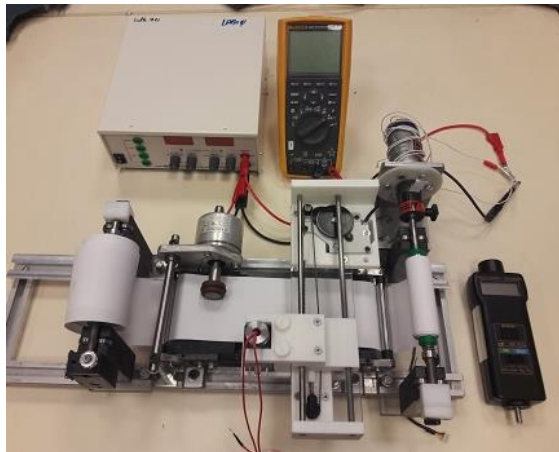
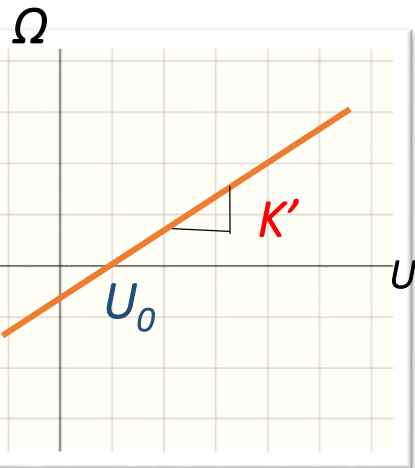
Valeur mesurée : $K_e = 6.67 \cdot 10^{-3} \text{ V} / \text{rad} / \text{s}$

- Frottements fluide et sec:

$$U = R.i + K_e.\Omega$$

$$U - \frac{R.C_{r0}}{K_c} = \frac{R.f + K_e.K_c}{K_c}.\Omega$$

$$\Omega = \underbrace{\frac{K_c}{R.f + K_e.K_c}}_{K'} . U - \underbrace{\frac{K_c}{R.f + K_e.K_c}}_{K'} \cdot \underbrace{\frac{R.C_{r0}}{K_c}}_{U_0}$$



$$f = 3.8.10^{-6} \quad N.m / rad / s$$

$$C_{r0} = 5.10^{-3} \quad N.m$$

Calcul théorique du moment d'inertie équivalent

- Energies cinétiques:

$$Ec_{moteur/0} = \frac{1}{2} \cdot J_{moteur} \cdot \Omega_{moteur/0}^2$$

$$Ec_{codeur/0} = \frac{1}{2} \cdot J_{codeur} \cdot \Omega_{codeur/0}^2$$

$$Ec_{sup/0} = \frac{1}{2} \cdot J_{sup}(t) \cdot \Omega_{moteur/0}^2$$

$$Ec_{bobine/0} = \frac{1}{2} \cdot J_{bob}(t) \cdot \Omega_{moteur/0}^2$$

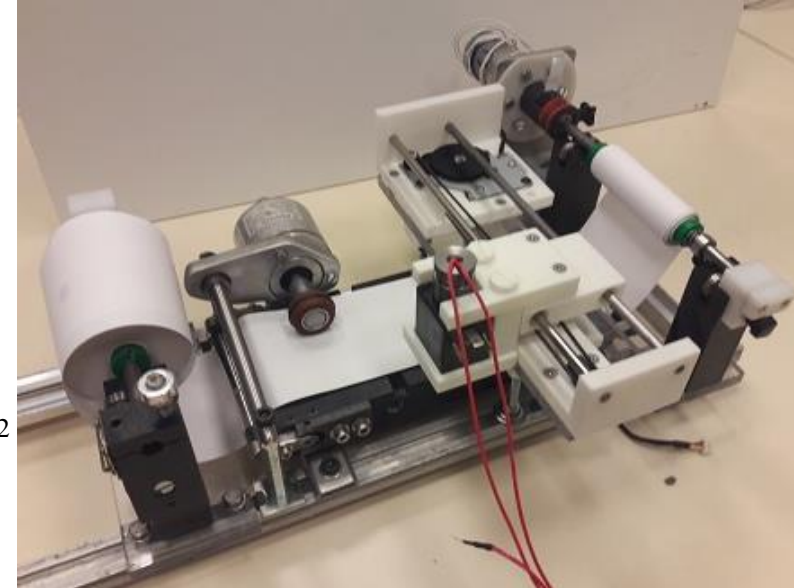
- Energies cinétiques exprimée avec la vitesse du moteur:

$$Ec_{moteur/0} = \frac{1}{2} \cdot J_{moteur} \cdot \Omega_{moteur/0}^2$$

$$Ec_{codeur/0} = \frac{1}{2} \cdot J_{codeur} \cdot \left(\frac{R_{sup}(t)}{R_{codeur}}\right)^2 \cdot \Omega_{moteur/0}^2$$

$$Ec_{sup/0} = \frac{1}{2} \cdot (J_{axe} + J_{papier\ enroulé}(t)) \cdot \Omega_{moteur/0}^2$$

$$Ec_{bobine/0} = \frac{1}{2} \cdot (J_{axe} + J_{papier\ déroulé}(t)) \cdot \left(\frac{R_{bob}(t)}{R_{sup}(t)}\right)^2 \cdot \Omega_{moteur/0}^2$$



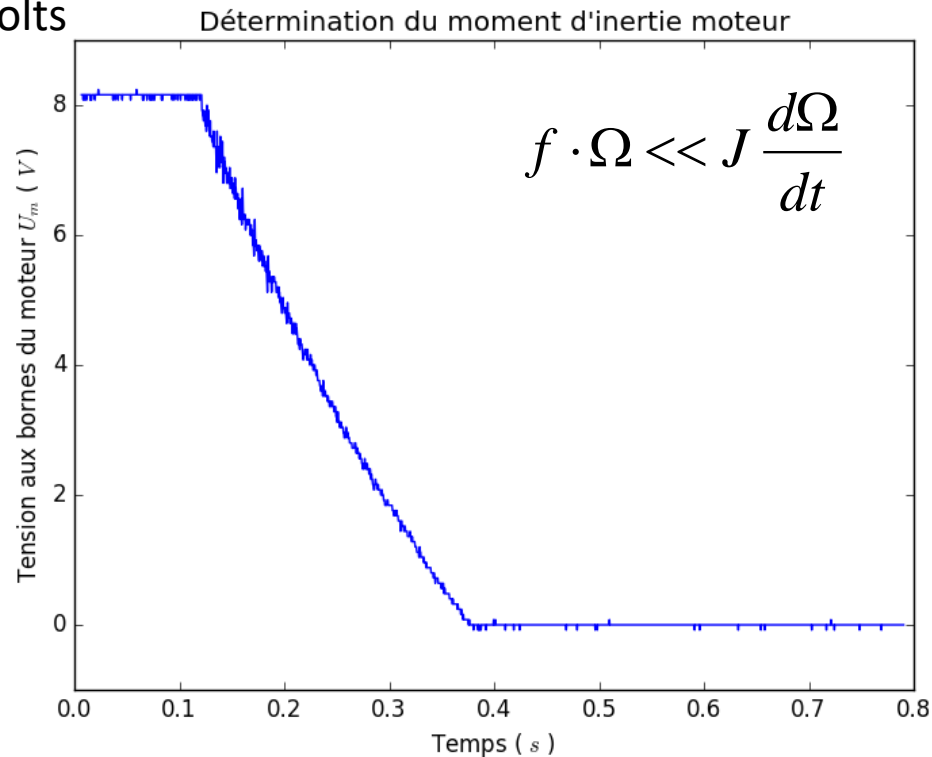
- Moment d'inertie équivalent en fonction du temps :

$$J_{eq}(t) = J_{moteur} + J_{codeur} + 2 \cdot J_{axe} + J_{papier\ enroulé}(t) + J_{papier\ déroulé}(t)$$

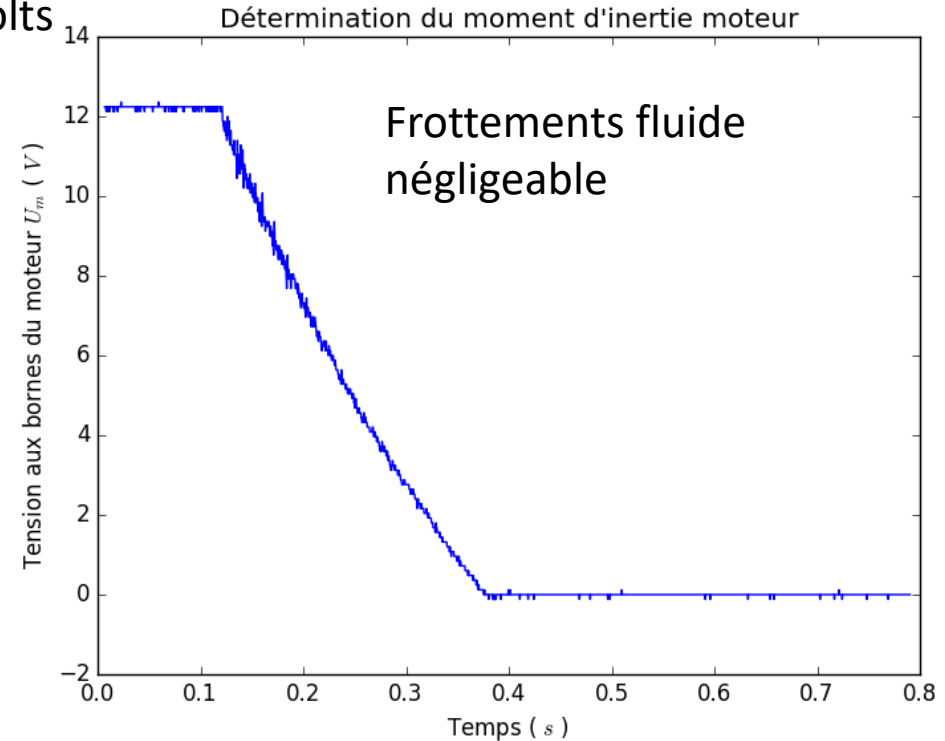
$$J_{eq}(t=0) = 1.1 \cdot 10^{-5} \quad kg.m^2$$

- Moment d'inertie expérimental : Essai en lâché

8 Volts



12 Volts

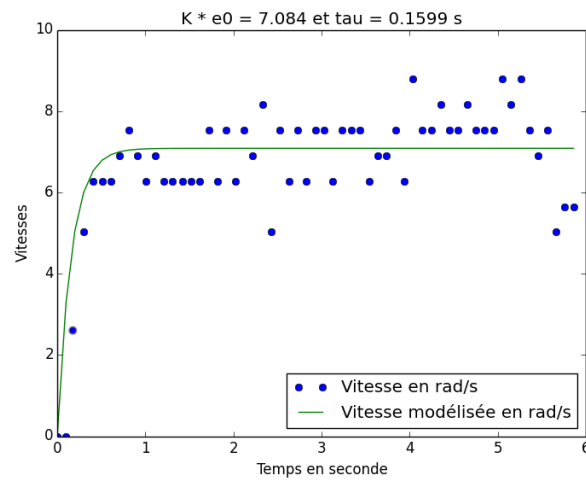


$$\Omega_m = cst - \frac{C_{r0}}{J_{lâcher1}} \cdot t$$

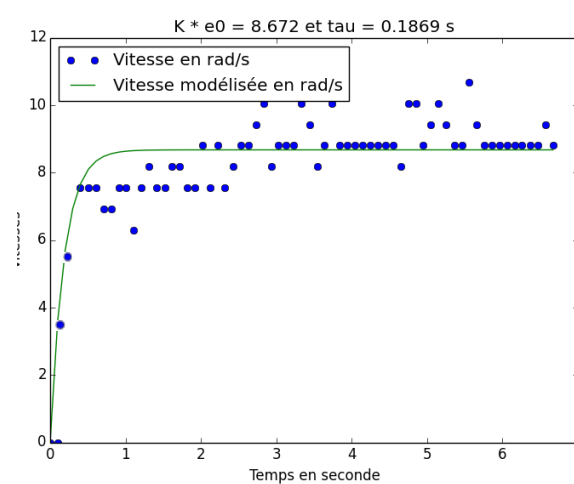
Valeur mesurée (moyenne) : $J_{lâcher} = 6.10^{-4} kg.m^2$

- Moment d'inertie expérimental : Réponse à un échelon de tension

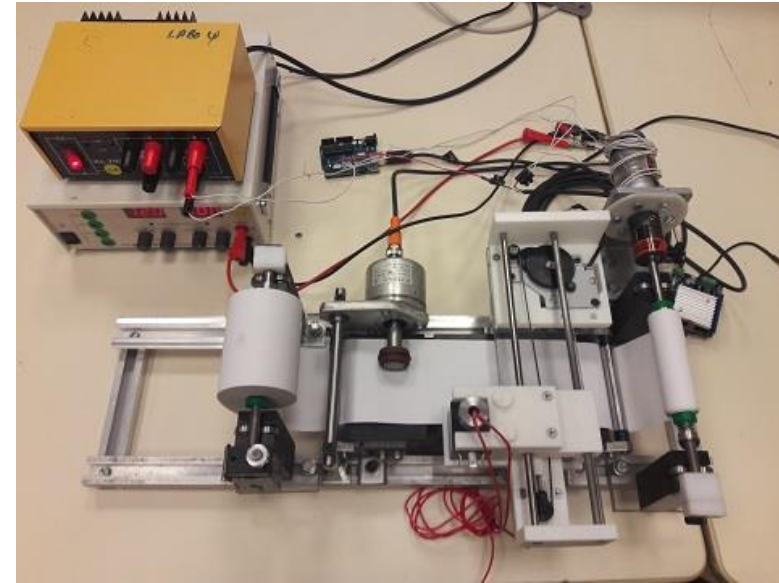
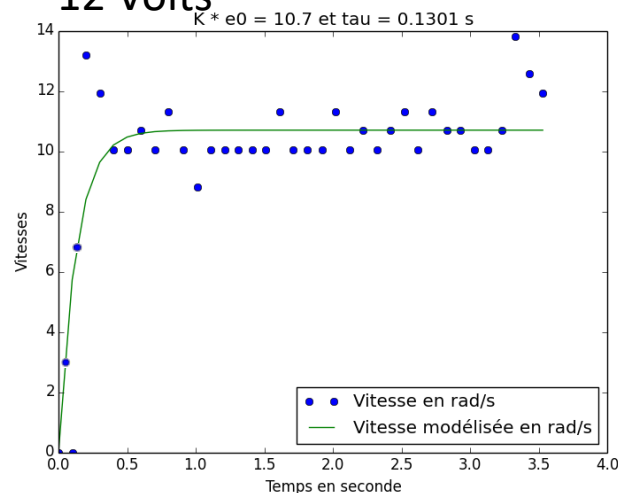
9 Volts



10 Volts



12 Volts



$$\tau = \frac{R \cdot J_{\text{échelon}}}{R \cdot f + K_e \cdot K_c} \quad J_{\text{échelon}} = \frac{\tau \cdot (K_e \cdot K_c + R \cdot f)}{R}$$

Valeur moyenne : $J_{\text{échelon}} = 9.5 \cdot 10^{-6} \text{ kg.m}^2$

Confrontation des différents résultats concernant le moment d'inertie

- Essai en lâcher

$$J_{\text{lâcher}} = 6.10^{-4} \text{ kg.m}^2$$

- Réponse à un échelon de tension

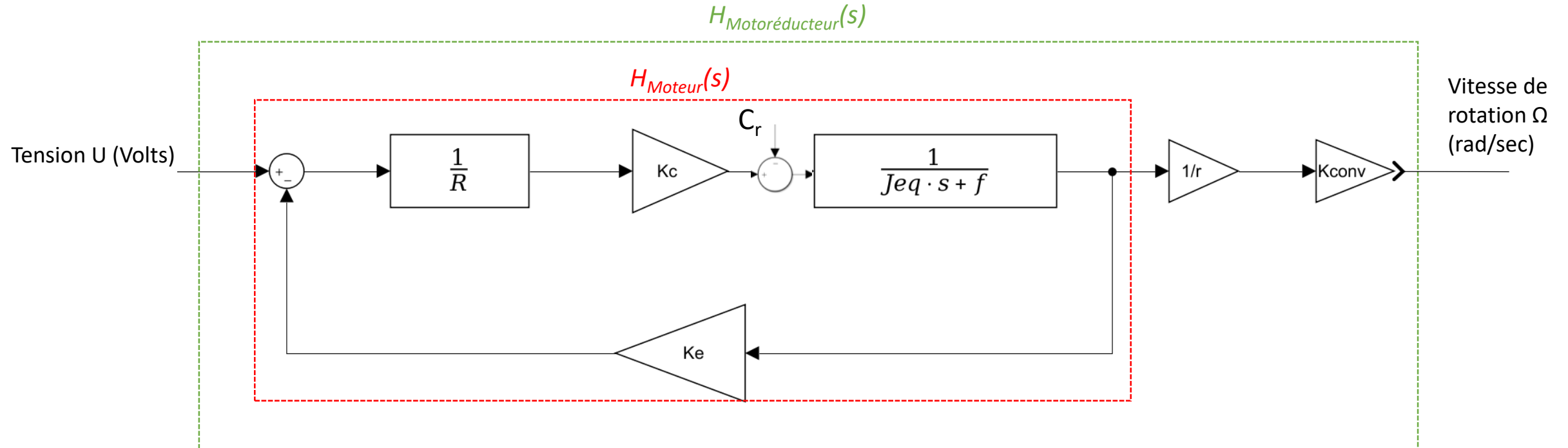
$$J_{\text{échelon}} = 9.52.10^{-6} \text{ kg.m}^2$$

- Par le calcul à $t=0s$

$$J_{\text{théorique}} = 1,1.10^{-5} \text{ kg.m}^2$$

- Valeur finalement retenue

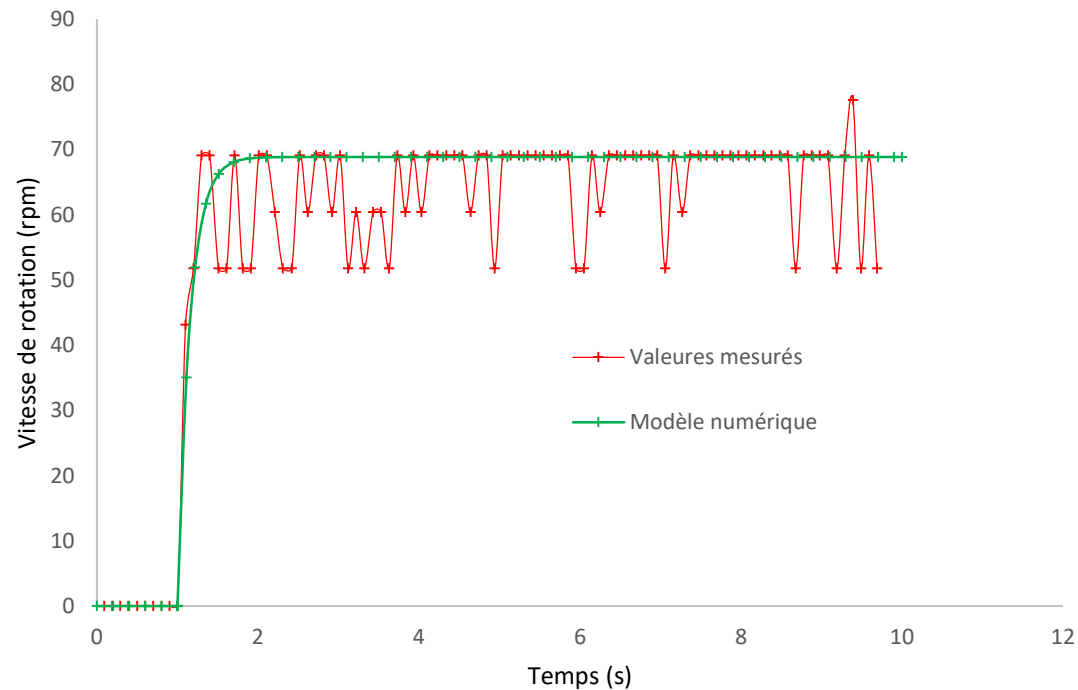
$$J_{eq} = 10^{-5} \text{ kg.m}^2$$



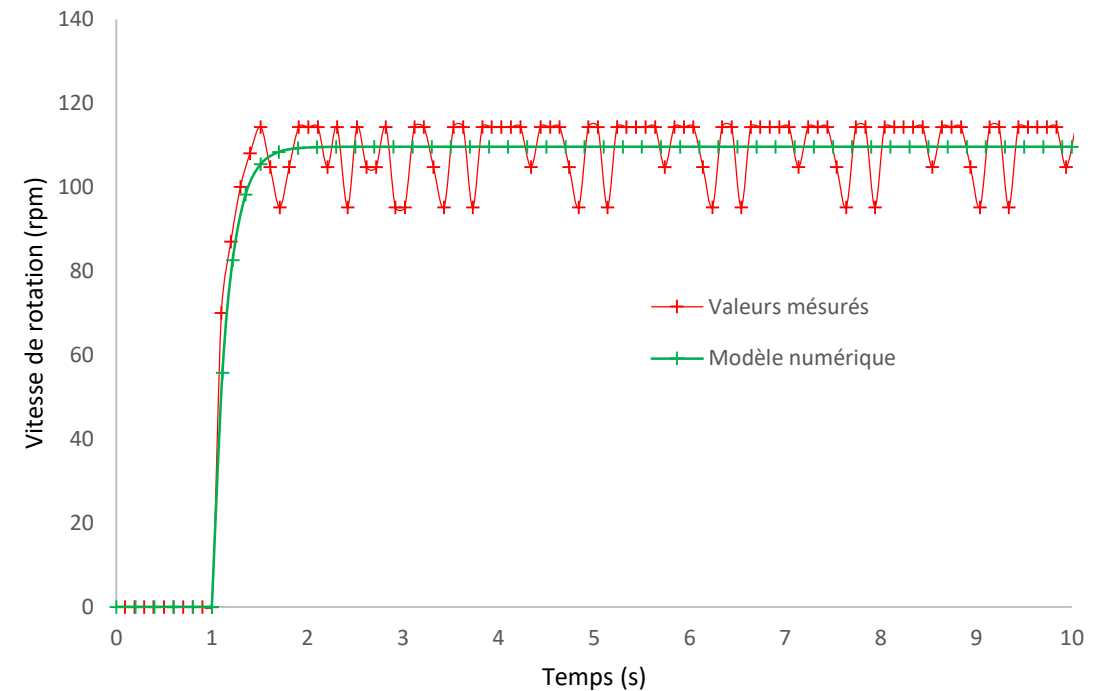
$$H_{Motoréducteur}(s) = H_{Moteur}(s) \cdot \frac{K_{conv}}{r} = \frac{\frac{K_c \cdot K_{conv}}{(R \cdot f + K_e \cdot K_c) \cdot r}}{1 + \frac{R \cdot J_{eq}}{R \cdot f + K_e \cdot K_c} \times s}$$

- Comparaison des réponses théoriques et expérimentales à un échelon de tension :

Réponse a un échelon de 6V

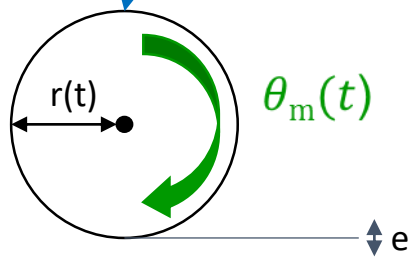


Réponse a un echelon de 9V

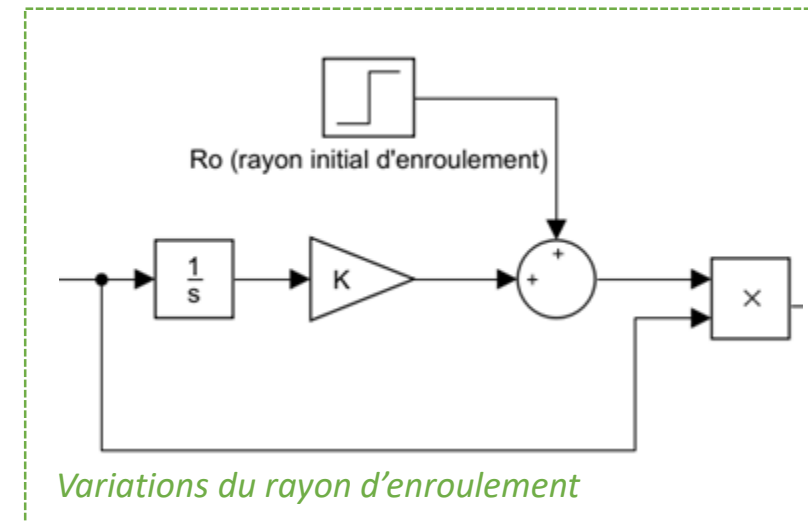


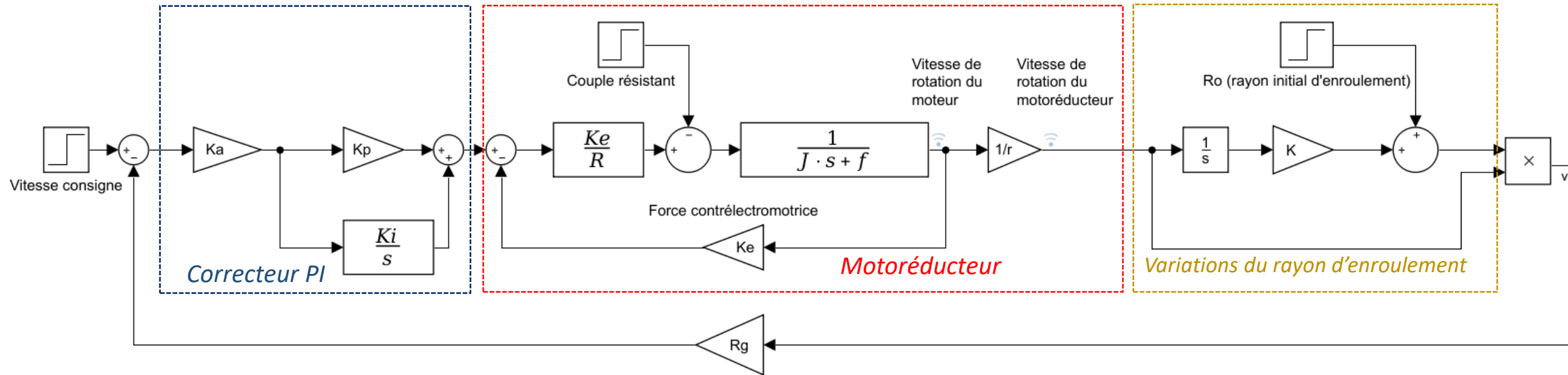
Validation du modèle

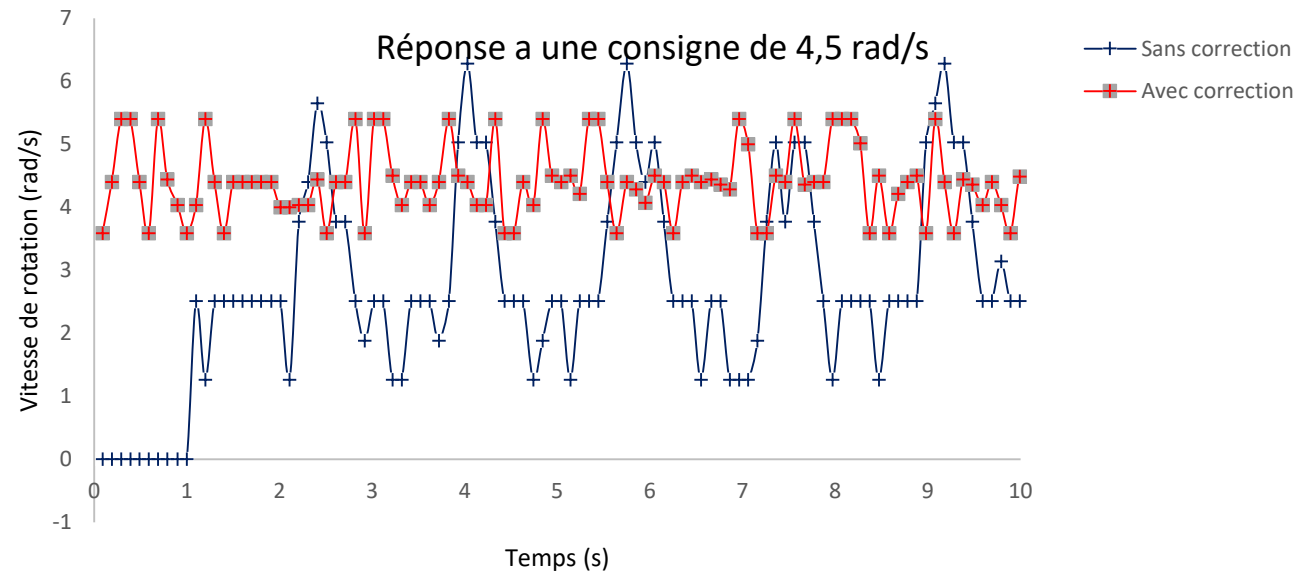
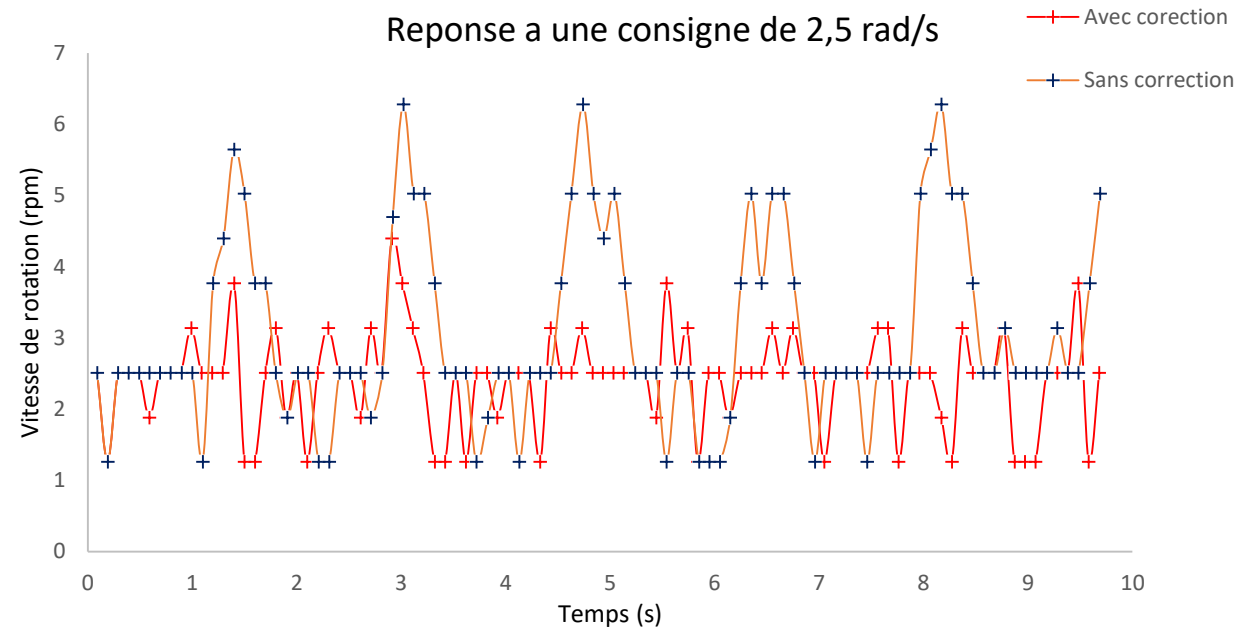
Bobine de papier



$$r(t) = r_0 + \frac{\theta_m(t)}{2\pi} e$$





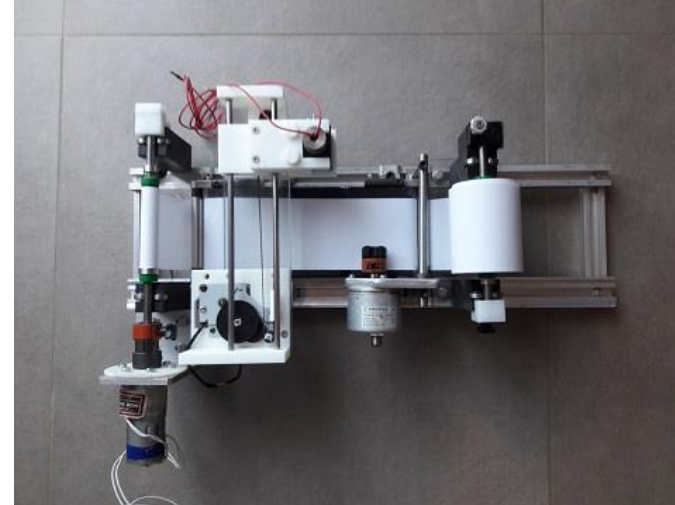


Support d'enroulement
non cylindrique

Conclusion

Bilan du TIPE:

- Prototype d'un orgue de barbarie électronique conçu
- Modèle du système réalisé
- Asservissement mis en place



Pour aller plus loin :

- Ecriture des partitions
- Lecture des partitions



Annexe 1 : Programme asservissement

```
#include <FlexiTimer2.h>
#include <digitalWriteFast.h>

// Codeur incrémental
#define codeurPinA 2
// #define codeurPinB 18
#define codeurInterruptionA digitalPinToInterrupt(codeurPinA)
// #define codeurInterruptionB digitalPinToInterrupt(codeurPinB)
volatile long ticksCodeurOld = 0;
volatile long ticksCodeurCumul = 0;
volatile long front = 0;

// Moteur CC
#define directionMoteurA 8
#define pwmMoteurA 9

// Cadence d'envoi des données en ms
#define TSDATA 100
unsigned long tempsDernierEnvoi = 0;
unsigned long tempsCourant = 0;

// Cadence d'échantillonnage en ms
#define CADENCE_MS 10
volatile double dt = CADENCE_MS / 1000.;
volatile double temps = -CADENCE_MS / 1000.;

// Commande
volatile double consigne = 3; // 8 Rad/sec au codeur soit 0.1 m/s sur le papier avec Rg=1.25cm
volatile double tensionAlim = 12.;
volatile double teta;
volatile double commande;
volatile double commandeSat;
volatile double saturation;
volatile double omega;
volatile double omegaPrec;
volatile double P_x = 100.;
volatile double I_x = 0.;

// parametre
volatile int count = 500;
volatile double ratio = 1;
volatile double pi = 3.14;
// radian : pi = 3.141592
// degre : pi = 180.
```

```
void setup() {
    // Codeur incrémental
    pinMode(codeurPinA, INPUT); // entrée digitale pin A codeur
    pinMode(codeurPinB, INPUT); // entrée digitale pin B codeur
    digitalWrite(codeurPinA, HIGH); // activation de la résistance de pullup
    digitalWrite(codeurPinB, HIGH); // activation de la résistance de pullup
    attachInterrupt(codeurInterruptionA, GestionInterruptionCodeurPinA, CHANGE);
    // attachInterrupt(codeurInterruptionB, GestionInterruptionCodeurPinB, CHANGE);
    // HIGH : niveau haut (sur certains modeles uniquement)
    // LOW : niveau bas
    // CHANGE : front montant et descendant
    // RISING : front montant
    // CHUTE : front descendant
    front = 2;

    // Moteur CC
    pinMode(directionMoteurA, OUTPUT);
    pinMode(pwmMoteurA, OUTPUT);

    // Liaison série
    Serial.begin(9600);
    Serial.flush();

    // Compteur d'impulsions de l'encodeur
    ticksCodeurOld = 0;
    ticksCodeurCumul = 0;

    // La routine isrt est exécutée à cadence fixe
    FlexiTimer2::set(CADENCE_MS, 1 / 1000., isrt); // résolution timer = 1 ms
    FlexiTimer2::start();
}

void loop() {
    // Ecriture des données sur la liaison série
    ecritureData();
}

void isrt() {
    // double Kp = 0.05;
    // double Ki = 0.12;

    double Kp = 4;
    double Ki = 0.1;
```

Annexe 2 : Programme asservissement

```
// Nombre de ticks codeur depuis la dernière fois
int codeurDeltaPos;
codeurDeltaPos = ticksCodeurCumul - ticksCodeurOld;
ticksCodeurOld = ticksCodeurCumul;

// Calcul de l'angle de rotation
teta = (2.*pi * (ticksCodeurCumul / front)) / (count * ratio); // en rad/deg/tr

// Calcul de la vitesse de rotation
omega = ((2.*pi * ((double)codeurDeltaPos / front)) / (count * ratio)) / dt; // en rad/s

temps += dt;

/***** Régulation*****/
double Ti;

Ti = Ki / (Kp + 0.01);

// Ecart entre la consigne et la mesure
double ecart;
ecart = consigne - omega;

// Terme proportionnel
P_x = Kp * ecart;

// Terme intégral
I_x = I_x + Ki * dt * ecart;

// Calcul de la commande
commande = P_x + I_x;

// Application de la saturation sur la commande
if (commande > tensionAlim) {
    commandeSat = tensionAlim;
}
else if (commande < -tensionAlim) {
    commandeSat = -tensionAlim;
}
else {
    commandeSat = commande;
}
```

```
void CommandeMoteurA(double tension)
{
    int tensionInt = int(255 * tension / tensionAlim);
    // Saturation par sécurité
    if (tensionInt >= 255) {
        tensionInt = 255;
        saturation = 1;
    }
    else if (tensionInt <= -255) {
        tensionInt = -255;
        saturation = -1;
    }
    else {
        saturation = 0;
    }
    // Commande PWM
    if (tensionInt >= 0) {
        digitalWrite(directionMoteurA, HIGH);
        analogWrite(pwmMoteurA, tensionInt);
    }
    if (tensionInt < 0) {
        digitalWrite(directionMoteurA, LOW);
        analogWrite(pwmMoteurA, -tensionInt);
    }
}

void GestionInterruptionCodeurPinA()
{
    //if (digitalReadFast2(codeurPinA) == digitalReadFast2(codeurPinB)) {
    // ticksCodeurCumul--;
    //}
    //else {
    ticksCodeurCumul++;
    //}
}

/*void GestionInterruptionCodeurPinB()
{
    if (digitalReadFast2(codeurPinA) == digitalReadFast2(codeurPinB)) {
        ticksCodeurCumul++;
    }
    else {
        ticksCodeurCumul--; }*/
```